


see similar files of the whole serie: <http://farbe.li.tu-berlin.de/eebs.htm>
 technical information: <http://farbe.li.tu-berlin.de> OR <http://color.li.tu-berlin.de>

TUB registration: 20230801-eeb2/eeb210np.pdf /.ps
 application for evaluation and measurement of display or print output
 TUB material: code=rh4ta




Regularity index $g^*_{16}=100 \left[\frac{\Delta L^*_{min}}{\Delta L^*_{max}} \right]$ for slide film

i	r _i	g _i	b _i	r _i	g _i	b _i	rgb _{ri}	L _i [*]	ΔL^*_i
1	8	8	8	0.00	0.00	0.00	0.00	20.00	0.00
2	8	8	8	0.00	0.00	0.00	0.00	20.00	0.00
3	8	8	8	0.00	0.00	0.00	0.00	20.00	0.00
4	8	8	8	0.00	0.00	0.00	0.00	20.00	0.00
5	11	8	10	0.03	0.00	0.01	0.01	21.37	1.37
6	22	12	20	0.12	0.03	0.11	0.09	26.91	6.91
7	39	30	37	0.27	0.20	0.25	0.24	38.56	18.56
8	51	46	48	0.38	0.34	0.35	0.36	47.14	27.14
9	61	58	59	0.47	0.46	0.45	0.46	54.82	34.82
10	73	70	69	0.58	0.57	0.54	0.56	62.45	42.45
11	82	80	78	0.65	0.65	0.61	0.64	68.17	48.17
12	90	87	88	0.73	0.72	0.70	0.71	73.96	53.96
13	99	96	97	0.81	0.80	0.78	0.80	80.24	60.24
14	105	102	103	0.86	0.86	0.84	0.85	84.30	64.30
15	113	110	112	0.93	0.93	0.92	0.93	89.87	69.87
16	120	117	121	1.00	1.00	1.00	1.00	95.00	75.00

$r_{ri}=[r-r_i]/[r_i-r_i]$ [1], similar for g_i, b_i $rgb_{ri}=[r_i+g_i+b_i]/3$ [2]
 $L^*_i=rgb_{ri} [L^*_w-L^*_s] + L^*_N$ [3] $\Delta L^*_i=[L^*_{i+1} - L^*_i]$ [4]

eeb20-2a ANCO0-2N; sf: -1.5 stop
 $g^*_{16}=0$




Regularity index $g^*_{16}=100 \left[\frac{\Delta L^*_{min}}{\Delta L^*_{max}} \right]$ for slide film

i	r _i	g _i	b _i	r _i	g _i	b _i	rgb _{ri}	L _i [*]	ΔL^*_i
1	63	53	51	0.00	0.00	0.00	0.00	20.00	2.11
2	69	60	56	0.03	0.03	0.02	0.02	22.11	6.10
3	84	76	73	0.10	0.11	0.10	0.10	28.22	8.11
4	97	90	87	0.17	0.18	0.17	0.17	33.43	5.21
5	113	105	106	0.25	0.25	0.26	0.26	39.65	6.21
6	126	121	124	0.33	0.33	0.35	0.34	45.57	5.92
7	148	142	144	0.44	0.44	0.44	0.44	53.48	7.91
8	168	163	167	0.54	0.54	0.56	0.55	61.49	8.00
9	191	186	190	0.66	0.65	0.68	0.67	70.25	8.76
10	217	212	214	0.80	0.78	0.80	0.79	79.90	7.60
11	238	232	234	0.91	0.88	0.89	0.90	87.51	7.16
12	255	252	255	1.00	1.00	1.00	1.00	94.67	9.67
13	255	255	255	1.00	1.00	1.00	1.00	95.00	0.32
14	255	255	255	1.00	1.00	1.00	1.00	95.00	0.00
15	255	255	255	1.00	1.00	1.00	1.00	95.00	0.00
16	255	255	255	1.00	1.00	1.00	1.00	95.00	0.00

$r_{ri}=[r-r_i]/[r_i-r_i]$ [1], similar for g_i, b_i $rgb_{ri}=[r_i+g_i+b_i]/3$ [2]
 $L^*_i=rgb_{ri} [L^*_w-L^*_s] + L^*_N$ [3] $\Delta L^*_i=[L^*_{i+1} - L^*_i]$ [4]

eeb20-3a ANCO0-3N; sf: +1.5 stop
 $g^*_{16}=0$




Regularity index $g^*_{16}=100 \left[\frac{\Delta L^*_{min}}{\Delta L^*_{max}} \right]$ for slide film

i	r _i	g _i	b _i	r _i	g _i	b _i	rgb _{ri}	L _i [*]	ΔL^*_i
1	15	8	11	0.00	0.00	0.00	0.00	20.00	0.23
2	17	8	11	0.00	0.00	0.00	0.00	20.23	0.23
3	35	22	29	0.10	0.07	0.09	0.08	26.58	6.35
4	48	40	41	0.16	0.16	0.15	0.16	32.13	5.85
5	62	56	56	0.24	0.24	0.23	0.23	37.99	4.52
6	73	68	68	0.30	0.30	0.29	0.30	42.51	5.24
7	87	82	81	0.37	0.37	0.35	0.37	47.76	5.31
8	100	95	97	0.44	0.44	0.43	0.44	53.07	5.01
9	113	108	110	0.51	0.51	0.50	0.50	58.22	5.14
10	126	123	126	0.57	0.58	0.58	0.58	63.74	5.52
11	139	136	140	0.64	0.65	0.65	0.65	68.95	5.21
12	153	149	155	0.71	0.72	0.73	0.72	74.40	5.44
13	166	163	167	0.78	0.79	0.79	0.79	79.42	4.65
14	179	175	179	0.85	0.85	0.85	0.85	84.07	6.27
15	196	191	195	0.94	0.93	0.93	0.93	90.35	4.64
16	207	204	207	1.00	1.00	1.00	1.00	95.00	0.00

$r_{ri}=[r-r_i]/[r_i-r_i]$ [1], similar for g_i, b_i $rgb_{ri}=[r_i+g_i+b_i]/3$ [2]
 $L^*_i=rgb_{ri} [L^*_w-L^*_s] + L^*_N$ [3] $\Delta L^*_i=[L^*_{i+1} - L^*_i]$ [4]

eeb20-6a ANCO0-6N; sf: +0.0 stop
 $g^*_{16}=3$




Regularity index $g^*_{16}=100 \left[\frac{\Delta L^*_{min}}{\Delta L^*_{max}} \right]$ for slide film

i	r _i	g _i	b _i	r _i	g _i	b _i	rgb _{ri}	L _i [*]	ΔL^*_i
1	30	13	19	0.00	0.00	0.00	0.00	20.00	2.17
2	37	21	24	0.03	0.03	0.02	0.02	22.17	6.28
3	51	43	44	0.09	0.13	0.10	0.11	28.46	4.04
4	64	57	54	0.15	0.19	0.15	0.16	32.50	5.22
5	78	73	70	0.22	0.26	0.22	0.23	37.72	4.32
6	90	85	84	0.27	0.31	0.28	0.29	42.05	4.95
7	104	99	101	0.34	0.37	0.35	0.36	47.00	5.36
8	120	114	117	0.41	0.44	0.43	0.43	52.36	4.97
9	134	130	133	0.47	0.51	0.50	0.49	57.34	4.98
10	150	147	152	0.55	0.59	0.58	0.57	63.30	5.96
11	167	162	166	0.63	0.65	0.64	0.64	68.40	5.10
12	183	179	183	0.70	0.73	0.71	0.72	74.03	5.62
13	200	197	199	0.78	0.81	0.79	0.79	79.73	5.70
14	215	211	214	0.85	0.87	0.85	0.86	84.72	4.98
15	232	227	231	0.93	0.94	0.93	0.93	90.29	5.76
16	246	240	246	1.00	1.00	1.00	1.00	95.00	0.00

$r_{ri}=[r-r_i]/[r_i-r_i]$ [1], similar for g_i, b_i $rgb_{ri}=[r_i+g_i+b_i]/3$ [2]
 $L^*_i=rgb_{ri} [L^*_w-L^*_s] + L^*_N$ [3] $\Delta L^*_i=[L^*_{i+1} - L^*_i]$ [4]

eeb20-7a ANCO0-7N; sf: +0.5 stop
 $g^*_{16}=34$




Regularity index $g^*_{16}=100 \left[\frac{\Delta L^*_{min}}{\Delta L^*_{max}} \right]$ for negative film

i	r _i	g _i	b _i	r _i	g _i	b _i	rgb _{ri}	L _i [*]	ΔL^*_i
1	27	12	15	0.00	0.00	0.00	0.00	20.00	20.92
2	30	14	16	0.01	0.01	0.00	0.01	20.92	0.92
3	35	19	19	0.04	0.03	0.02	0.03	22.87	1.94
4	43	27	25	0.09	0.08	0.06	0.08	26.02	3.15
5	52	39	36	0.15	0.14	0.12	0.14	30.66	4.63
6	61	49	43	0.20	0.20	0.17	0.19	34.48	4.83
7	73	63	54	0.27	0.27	0.24	0.26	39.77	5.29
8	85	76	65	0.34	0.34	0.30	0.33	44.91	5.21
9	97	89	75	0.41	0.41	0.36	0.40	50.13	7.00
10	113	105	91	0.51	0.50	0.46	0.49	57.14	5.96
11	126	121	104	0.59	0.59	0.54	0.57	63.10	6.41
12	140	137	118	0.67	0.67	0.63	0.66	69.32	6.66
13	155	152	134	0.76	0.75	0.72	0.74	76.18	6.66
14	167	166	146	0.83	0.83	0.79	0.82	81.61	5.42
15	181	182	163	0.91	0.91	0.90	0.91	88.48	6.86
16	195	197	179	1.00	1.00	1.00	1.00	95.00	6.51

$r_{ri}=[r-r_i]/[r_i-r_i]$ [1], similar for g_i, b_i $rgb_{ri}=[r_i+g_i+b_i]/3$ [2]
 $L^*_i=rgb_{ri} [L^*_w-L^*_s] + L^*_N$ [3] $\Delta L^*_i=[L^*_{i+1} - L^*_i]$ [4]

eeb21-2a ANCO1-2N; nf: -2.0 stop
 $g^*_{16}=13$




Regularity index $g^*_{16}=100 \left[\frac{\Delta L^*_{min}}{\Delta L^*_{max}} \right]$ for negative film

i	r _i	g _i	b _i	r _i	g _i	b _i	rgb _{ri}	L _i [*]	ΔL^*_i
1	21	19	15	0.00	0.00	0.00	0.00	20.00	1.32
2	25	23	18	0.02	0.01	0.01	0.01	21.32	4.02
3	33	34	28	0.07	0.07	0.06	0.07	25.35	3.75
4	41	42	38	0.13	0.12	0.11	0.12	29.11	5.40
5	53	56	52	0.21	0.19	0.17	0.19	34.51	4.66
6	64	67	63	0.28	0.24	0.23	0.25	39.17	5.91
7	77	82	78	0.36	0.32	0.30	0.33	45.09	5.91
8	90	96	92	0.45	0.40	0.38	0.41	51.07	5.58
9	103	110	105	0.54	0.47	0.44	0.48	56.65	7.33
10	118	129	125	0.64	0.57	0.54	0.58	63.99	5.23
11	129	142	138	0.71	0.64	0.60	0.65	69.22	5.07
12	139	154	153	0.78	0.70	0.68	0.72	74.29	5.92
13	150	170	169	0.85	0.79	0.76	0.80	80.22	4.28
14	156	181	183	0.89	0.84	0.83	0.86	84.50	4.28
15	165	196	200	0.95	0.92	0.91	0.93	90.16	5.65
16	172	210	217	1.00	1.00	1.00	1.00	95.00	4.83

$r_{ri}=[r-r_i]/[r_i-r_i]$ [1], similar for g_i, b_i $rgb_{ri}=[r_i+g_i+b_i]/3$ [2]
 $L^*_i=rgb_{ri} [L^*_w-L^*_s] + L^*_N$ [3] $\Delta L^*_i=[L^*_{i+1} - L^*_i]$ [4]

eeb21-4a ANCO1-4N; sf: +0.0 stop
 $g^*_{16}=18$



Regularity index $g^*_{16}=100 \left[\frac{\Delta L^*_{min}}{\Delta L^*_{max}} \right]$ for negative film

i	r _i	g _i	b _i	r _i	g _i	b _i	rgb _{ri}	L _i [*]	ΔL^*_i
1	27	18	14	0.00	0.00	0.00	0.00	20.00	1.09
2	29	22	17	0.01	0.01	0.01	0.01	21.09	3.38
3	40	32	25	0.06	0.06	0.05	0.05	24.47	4.02
4	49	40	33	0.11	0.10	0.08	0.10	27.50	3.61
5	62	54	45	0.17	0.16	0.14	0.16	32.11	4.06
6	73	68	56	0.23	0.22	0.18	0.21	36.17	5.60</